

شناسایی و تعیین ویژگی‌های ژنومی آلل‌های خودناسازگاری در گونه‌های وحشی گلابی

اعظم نیکزاد قره‌آغاجی^۱، کاظم ارزانی^{۲*}، حمید عبداللهی^۳،
عبدالعلی شجاعیان^۴، لوکا دوندینی^۵ و پاولو دفرانچسکی^۶

(تاریخ دریافت: ۱۳۹۲/۶/۱۱؛ تاریخ پذیرش: ۱۳۹۲/۹/۱۱)

چکیده

گونه‌های گلابی، سیستم خودناسازگاری گامتوفیتی نشان می‌دهند که به طور گسترده در میان گیاهان گل دار وجود دارد. این سیستم، از طریق مکانیزم شناسایی دانه گرده - مادگی از خودباروری جلوگیری می‌کند. تنوع آلل‌های خودناسازگاری یافت شده در ژنوتیپ‌های ایرانی نشان‌دهنده ردبای ترکیب ژنتیکی معنی دار گونه‌های دیگر است؛ بنابراین، ژرمپلاسم ایران به عنوان بهترین منبع تنوع برنامه‌های بهزیادی است. بدین منظور، در این مطالعه، آلل‌های خودناسازگاری ۶۴ ژنوتیپ از چهار گونه گلابی؛ *Pyrus salicifolia*, *Pyrus communis*, *Pyrus syriaca* و *Pyrus ussuriensis*، از ایران و اروپا با استفاده از آغازگرهای عمومی و اختصاصی به روش مبتنی بر واکنش زنجیره‌ای پلی‌مراز شناسایی شد. نتایج، آلل خودناسازگاری شامل PcS_{101} - PcS_{125} را مشخص کرد و وجود آلل جدید PcS_{127} در تعدادی از ژنوتیپ‌های وحشی گونه *P. communis* از ایران و همچنین حضور آلل S_8 را در گونه *P. pyrifolia syn. P. serotina* از ایران و همچنین PpS_8 را در گونه *P. pyrifolia syn. P. serotina* در دورگ‌گیری بسیار بر جسته بوده است. براساس نتایج آلل‌های خودناسازگاری یافت شده، ژنوتیپ‌های ایرانی دارای ترکیب آللی متفاوتی از ارقام و ژنوتیپ‌های اروپایی است چرا که در ژنوتیپ‌های ایرانی ردبای آلل‌های خودناسازگاری گونه‌های مختلف جنس گلابی، یافت شده است. همچنین، کاربرد این روش در ۲۱ رقم با S - آلل‌های شناسایی شده، امکان شناسایی مجدد ترکیب آللی S - ژنوتیپ‌های خودناسازگاری رقم وردی، با S - آلل‌های $\text{PcS}_{101}/\text{PcS}_{104}$ و رقم کونسیلر آلاکوثر با S - آلل‌های $\text{PcS}_{103}/\text{PcS}_{123}/\text{PcS}_{105}$ را فراهم کرد.

واژه‌های کلیدی: گونه‌های گلابی، آلل‌های S، واکنش زنجیره‌ای پلی‌مراز، آلل‌های اختصاصی

۱ و ۴. بهترتب دانشجوی فارغ التحصیل دکتری، استاد و استادیار گروه علوم باگبانی، دانشگاه تربیت مدرس، تهران، ایران

۳. دانشیار موسسه تحقیقات اصلاح و تهییه نهال و بذر، کرج، ایران

۵ و ۶. بهترتب استادیار و پسادکتری گروه علوم کشاورزی، دانشگاه بولونیا، بولونیا، ایتالیا

*. مسئول مکاتبات، پست الکترونیکی: arzani_k@modares.ac.ir

مقدمه

ناحیه با تنوع بالا (RHV: Hyper-Variable Region) متمرکز شده‌اند؛ از طرف دیگر، مکانزنی - S دارای پنج ناحیه حفاظت شده عمومی (C1، C2، C3، C4 و C5) و یک ناحیه بسیار حفاظت شده هگزاپیتیدی استاندارد (IIWPNW) است که دقیقاً پایین RHV قرار گرفته است که برای طراحی جفت آغازگر عمومی بهمنظور تکثیر ناحیه بزرگی از آلل‌ها به کار می‌رود (۲۲). آخرین گزارش برای تعیین آلل‌های خودناسازگاری گلابی‌های کشت شده توسط سانژول و روپیز انجام شد (۲۲ و ۲۳). این محققان روشی مبتنی بر واکنش زنجیره‌ای پلی‌مراز با استفاده از آغازگرهای عمومی و اختصاصی را به منظور ثبت ژنومی آلل‌های خودناسازگاری در ارقام گلابی اروپایی به کار برداشتند. علاوه بر این، ولکو و همکاران، به دلیل پتانسیل معنی دار گلابی‌های وحشی به عنوان منبع ژن برای غنی کردن ویژگی‌های گونه‌های کشت شده، ویژگی‌های ژنومی آلل‌های خودناسازگاری هفت گلابی وحشی از گونه P. *pyraster* را بررسی کردند (۳۵) و گزارش نمودند که آلل‌های خودناسازگاری یافت شده در گونه P. *pyraster* دارای شباهت با آلل‌های S- گونه P. *communis* هستند اما یکسان نیستند و انتقال آنها از سال‌ها پیش اتفاق افتاده است. تنوع بالای آلل‌های S- ممکن است به دلیل میزان مهاجرت بالای آلل‌های S- جدید، ایجاد شده باشد. هرچند ایجاد موتاسیون در ترکیب توالی آلل‌های خودناسازگاری، که منجر به تنوع آللی می‌گردد، را نیز نباید از نظر دور داشت. از طرفی دیگر، در جمعیت‌های وحشی، مکانزنی - S موضوع اصلی انتخاب وابسته به کثرت است. به عبارتی دیگر، دانه گرده در بردارنده ویژگی نادری است که تغییرات جفت‌گیری را افزایش می‌دهد، زیرا تنها قسمت کوچکی از گیاهان آن را پذیرش نخواهند کرد؛ بنابراین، فراوانی این ویژگی را در طول نسل افزایش می‌دهد (۳۶). بر عکس، فراوانی ویژگی S به تدریج تمایل به کاهش شیوع آن در جمعیت دارد. اما، این نوع از انتخاب، باعث حفظ تعداد بالایی از هاپلوتیپ‌های S در جمعیت برای مدت زمان بسیار طولانی می‌شود. تجزیه آلل‌های خودناسازگاری در گونه‌های

گونه‌های گلابی متعلق به جنس گلابی، زیر طایفة Pyrinae، زیر خانواده Maloideae (Maloideae) از خانواده رزاسه (Rosaceae) است. گونه‌های گلابی دارای سیستم خودناسازگاری هستند که با سیستم گامتوفیتی تک فاکتوری هم‌ریخت کنترل می‌گردد. این سیستم، از طریق مکانیزم شناسایی دانه گرده - مادگی از خودباروری جلوگیری می‌کند. بنابراین، رشد لوله گرده خودی روی مادگی امکان‌پذیر نبوده و این در حالی است که لوله گرده غیرخودی و سازگار، داخل مادگی رشد کرده و به تخدمان می‌رسد (۵). ویژگی شناسایی خودی / غیر خودی به‌طور ژنتیک توسط تک مکانزنی - S (S-locus؛ در مادگی با چندین آلل که S-RNase نامیده می‌شود (۳) و چندین آلل در SFBB: S-locus F-Box Brother؛ کنترل می‌گردد، که به ترتیب، تعیین کننده فعالیت ماده و نر است. علاوه بر جلوگیری از خودباروری، ترکیب آللی در S-locus، دگرباروری بین ارقام را تعیین می‌کند؛ بنابراین دانش ثبت ژنومی آلل‌های خودناسازگاری یا ژنتوتیپ خودناسازگاری ارقام برای تضمین دگرگرده‌افشانی در انتخاب رقم گردهزا و ترکیب مناسب ارقام گلابی در باغ‌های گلابی و هم‌چنین انتخاب والدین برای برنامه‌های به‌نژادی بسیار مهم است.

سیستم خودناسازگاری در ارقام و ژنتوتیپ‌های گلابی موضوع مطالعات بسیاری است. اولین آلل خودناسازگاری خانواده وردسانان توسط ساسا و همکاران در گلابی ژاپنی شناسایی شد (۲۵)، ویژگی‌های بعدی آلل‌های خودناسازگاری در گلابی ژاپنی (۱۱، ۱۵، ۲۰ و ۲۴) و گلابی اروپایی (۱۰، ۱۹، ۲۱، ۲۲ و ۳۸) توسط همسانه‌سازی cDNA و توالی یابی ژنومی، ثبت ژنومی آلل‌های خودناسازگاری و برنامه‌های به‌نژادی را آسان‌تر کرد. مکانزنی - S، هتروآللی (۸ و ۳۱)، دارای چند شکل بالا و ویژه برای هر هاپلوتیپ می‌باشد که نشان دهنده تنوع کافی برای توسعه نشانگرهای مولکولی به‌منظور ثبت ژنومی آلل‌های خودناسازگاری است (۱۰). اکثر چند شکل‌ها در

(WANRC) و مؤسسه تحقیقات جنگل‌ها و مراتع (RIFR) در ایران و گروه علوم کشاورزی دانشگاه بولونیا - ایتالیا (DIPSA) و مرکز تحقیقات و تکنولوژی کشاورزی آرگون - اسپانیا (CITA)، جمع‌آوری شدند. برگ‌ها بعد از برداشت، در فریزر 80°C درجه سانتی‌گراد زیر صفر کاملاً فریز شدند و در دستگاه خشک‌کن انجمادی (HITOSICC, Heto-Holten A/S, Denmark) خشک شدند.

استخراج DNA

برای استخراج DNA ژنومی، مقدار 50 میلی‌گرم از برگ‌های خشک شده هر ژنوتیپ، با استفاده از دستگاه آسیاب مکانیکی (Mixer Mill MM 300, Retsch GmbH & Co. KG) کاملاً پودر شدند. DNA ژنومی با استفاده از روش CTAB تغییر یافته استخراج شدند (18°C). DNA های استخراج شده با استفاده (NanoDrop Technology, Rockland, DE) مورد ارزیابی کمیت و کیفیت قرار گرفتند. برای استفاده در واکنش زنجیره‌ای پلی‌مراز، نمونه‌های DNA با غلظت 25 نانوگرم رقیق گردیدند.

توسعه واکنش زنجیره‌ای پلی‌مراز

واکنش زنجیره‌ای پلی‌مراز در ابتدا با استفاده از جفت آغازگر عمومی؛ PycomC1F1(5'ATTTCAATTACGCAGCAATATCAGC3') و PycomC5R1(5'CTGCAAAGGACCTAACCAATTG3') تحت شرایط؛ 25 نانوگرم DNA ژنومی، بافر واکنش PCR (1X)، 2 میلی‌مولار کلرید منزیم ($1/8$ میکرولیتر)، $0/6$ واحد Tag DNA (Applied biosystem, Amplitaq Gold DNA Polymerase پلی‌مراز) ($1/10$ میکرولیتر)، $0/2$ میلی‌مولار dNTPs ($0/4$ میکرولیتر) و $0/6$ میکرومولار از هر آغازگر ($0/9$ میکرولیتر از هر آغازگر) تهیه شد و با استفاده از دستگاه ترموسایکلر (Applied Biosystems 2720, USA) پلی‌مراز، تحت برنامه؛ یک‌چرخه در 10°C دقیقه - 94°C درجه سانتی‌گراد، 25 چرخه سه مرحله‌ای شامل 30 ثانیه - 94°C درجه

Pyrinae به طور واضح، نشان دهنده تأثیر انتخاب وابسته به کثرت در آنها است (۳۳). هم‌چنین، تکامل نژادی (Phylogeny) آلل‌های خودناسازگاری گونه‌های Pyrinae مختلف، شواهدی از به اشتراک گذاشتن چند شکل‌های اجدادی را ارائه می‌دهد ($2, 6$ و 24°C ، به این معنی که؛ یک آلل از یک گونه اغلب ارتباط نزدیکی با آلل‌های گونه‌ها یا جنس‌های دیگر دارد و این در حالی است که ارتباط نزدیکی با آلل‌های دیگر گونه‌های یکسان ندارد، این موضوع پیشنهاد دهنده تنوع مکانیزم - S در زیرطایفه نسبت به زمان انشعاب جنس‌ها می‌باشد (۱۴). بنابراین احتمال دارد که بیشترین تنوع مولکولی مربوط به گسترش آلل‌های خودناسازگاری گونه‌های Pyrinae منشاء گرفته از اجداد مشترک باشد (۵).

ایران به دلیل قرارگیری در آسیای مرکزی و به عنوان کشوری روی جاده ابریشم، یکی از مناطق دورگ‌گیری P. korshinskyi, P. bretschneideri, P. communis و P. pyrifolia syn. P. serotina می‌باشد (۱۶). ایران یکی از مهم‌ترین مراکز اصلی تنوع ژنتیکی ژرم‌پلاسم‌های گلابی است. به این دلیل، این مطالعه با هدف، ثبت ژنومی آلل‌های خودناسازگاری ۴۳ ژنوتیپ وحشی و 22°C رقم به عنوان کترل با استفاده از آلل‌های عمومی و اختصاصی بررسی گردید.

مواد و روش‌ها

مواد‌گیاهی

مواد‌گیاهی شامل 43 ژنوتیپ؛ 36 ژنوتیپ از گونه P. communis از ایران و انگلستان، یک ژنوتیپ از گونه P. salicifolia از ژنوتیپ از گونه P. ussuriensis دو ژنوتیپ از گونه P. syriaca و 21 رقم از گونه P. communis (جدول ۱) در این پژوهش برای ثبت ژنومی آلل‌های PCs₁₀₁ تا PCs₁₂₅ مورد بررسی قرار گرفتند. نمونه‌های برگ‌های سالم از سرشارنده‌های جوان ارقام و ژنوتیپ‌های گلابی از کلکسیون‌های موسسه اصلاح نهال و بذر کرج - ایران (SPII)، مراکز تحقیقات کشاورزی و منابع طبیعی گیلان (GANRC) و آذربایجان غربی

جدول ۱. ارقام و ژنوتیپ‌های مورد بررسی در این مطالعه

گونه	محل جمع آوری	نام رقم/ژنوتیپ	گونه	محل جمع آوری	نام رقم/ژنوتیپ
<i>P. communis</i>	Iran.GANRC	(Accession72) ۷۲	<i>P. communis</i>	Italy.DIPSA	وردی (Veerdi/Sweet Blush)
<i>P. communis</i>	Iran.GANRC	(Accession73) ۷۳	<i>P. communis</i>	Italy.DIPSA	اوید (Ovid)
<i>P. communis</i>	Iran.GANRC	(Accession74) ۷۴	<i>P. communis</i>	Italy.DIPSA	کونسیلر آلاکوئر (Conseiller a la Coeur)
<i>P. communis</i>	Iran.GANRC	(Accession75) ۷۵	<i>P. communis</i>	Italy.DIPSA	ریمار رد (Reimer red)
<i>P. communis</i>	Iran.GANRC	(Accession76) ۷۶	<i>P. communis</i>	Italy.DIPSA	دوینه دوکومیس (Doyenné du Comice)
<i>P. communis</i>	Iran.GANRC	(Accession77) ۷۷	<i>P. communis</i>	Italy.DIPSA	آنگلس (Angelys)
<i>P. communis</i>	Iran.GANRC	(Accession78) ۷۸	<i>P. communis</i>	Italy.DIPSA	بوره گیفارد (Beurré Giffard)
<i>P. communis</i>	Iran.GANRC	(Accession79) ۷۹	<i>P. communis</i>	Italy.DIPSA	فرتیلیتی (Fertility)
<i>P. communis</i>	Iran.GANRC	(Accession80) ۸۰	<i>P. communis</i>	Italy.DIPSA	کفرانس (Conference)
<i>P. communis</i>	Iran.GANRC	(Accession81) ۸۱	<i>P. communis</i>	Spain.CITA	دلبارد پرمیر (Delbard première)
<i>P. communis</i>	Iran.GANRC	(Accession82) ۸۲	<i>P. communis</i>	Italy.DIPSA	پرزیدنت هرون (President Heron)
<i>P. communis</i>	Iran.GANRC	(Accession83) ۸۳	<i>P. communis</i>	Italy.DIPSA	ویلدر (Wilder)
<i>P. communis</i>	Iran.GANRC	(Accession84) ۸۴	<i>P. communis</i>	Italy.DIPSA	بوره کلایر گو (Beurré Clairgeau)
<i>P. communis</i>	Iran.GANRC	(Accession85) ۸۵	<i>P. communis</i>	Spain.CITA	اولدھوم (Old Home)
<i>P. communis</i>	Iran.GANRC	(Accession86) ۸۶	<i>P. communis</i>	Italy.DIPSA	مونچالارد (Monchallard)
<i>P. communis</i>	Iran.GANRC	(Accession87) ۸۷	<i>P. communis</i>	Italy.DIPSA	روزماری (Rosmarie)
<i>P. communis</i>	Iran.GANRC	(Accession88) ۸۸	<i>P. communis</i>	Italy.DIPSA	بلا دی گیونیو (Bella di Giugno)
<i>P. communis</i>	Iran.GANRC	(Accession89) ۸۹	<i>P. communis</i>	Italy.DIPSA	کفر (Kieffer)
<i>P. communis</i>	Iran.GANRC	(Accession90) ۹۰	<i>P. communis</i>	Spain.CITA	دوینه دهیور (Doyenné d'hiver)
<i>P. communis</i>	Iran.GANRC	(Accession91) ۹۱	<i>P. communis</i>	Spain.CITA	گرین سامر (Green Summer)
<i>P. communis</i>	Iran.GANRC	(Accession92) ۹۲	<i>P. communis</i>	Iran.Kurdistan	سرمانیو (Ceremeño)
<i>P. communis</i>	Iran.GANRC	(Accession93) ۹۳	<i>P. communis</i>	Iran.Kurdistan	ژنوتیپ ۳۹ (Accession39)
<i>P. communis</i>	Iran.GANRC	(Accession94) ۹۴	<i>P. communis</i>	Iran.Kurdistan	ژنوتیپ ۴۰ (Accession40)
<i>P. communis</i>	UK.RIFR-Kew	(Accession95) ۹۵	<i>P. communis</i>	Iran.Kurdistan	ژنوتیپ ۴۱ (Accession41)
<i>P. salicifolia</i>	Iran.SPII	(Accession96) ۹۶	<i>P. communis</i>	Iran.Kurdistan	ژنوتیپ ۴۲ (Accession42)
<i>P. syriaca</i>	Iran.WANRC	(Accession97) ۹۷	<i>P. communis</i>	Iran.Kurdistan	ژنوتیپ ۴۳ (Accession43)
<i>P. syriaca</i>	Iran.WANRC	(Accession98) ۹۸	<i>P. communis</i>	Iran.Kurdistan	ژنوتیپ ۴۴ (Accession44)
<i>P. ussuriensis</i>	UK.RIFR-Kew	(Accession99) ۹۹	<i>P. communis</i>	Iran.Kurdistan	ژنوتیپ ۴۵ (Accession45)
<i>P. ussuriensis</i>	UK.RIFR-Kew	(Accession100) ۱۰۰	<i>P. communis</i>	Iran.Kurdistan	ژنوتیپ ۴۶ (Accession46)
<i>P. ussuriensis</i>	UK.RIFR-Kew	(Accession101) ۱۰۱	<i>P. communis</i>	Iran.WANRC	ژنوتیپ ۴۷ (Accession47)
<i>P. ussuriensis</i>	UK.RIFR-Kew	(Accession102) ۱۰۲	<i>P. communis</i>	Iran.WANRC	ژنوتیپ ۶۱ (Accession61)
			<i>P. communis</i>	Iran.GANRC	ژنوتیپ ۶۲ (Accession62)
			<i>P. communis</i>	Iran.GANRC	ژنوتیپ ۷۱ (Accession71)

آغازگرهای اختصاصی طراحی شده با نرم‌افزار Primer3 (http://primer3.wi.mit.edu/), در این مطالعه، برای تکثیر آل‌های *PcS₁₂₅* تا *PcS₁₀₁* انجام گرفت. همچنین، برای شناسایی آل‌های خودناسازگاری در گلابی‌های ژاپنی از آغازگرهای اختصاصی

سانتی گراد، ۴۵ ثانیه - ۵۷ درجه سانتی گراد، ۲ دقیقه - ۷۲ درجه سانتی گراد، و در نهایت مرحله گسترش نهایی: ۷ دقیقه - ۷۲ درجه سانتی گراد، انجام گرفت. سپس شرایط واکنش و تکثیر با جفت آغازگرهای توصیف شده توسط سانزول (۲۲) به علاوه

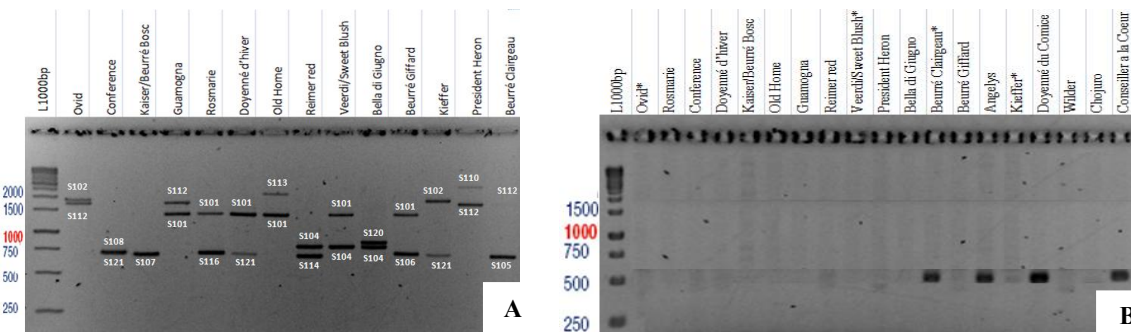
جدول ۲. نام و توالی آغازگرهای اختصاصی مورد استفاده در این پژوهش

منابع	غلظت آغازگر (μM)	توالی ($5' \rightarrow 3'$)	نام آغازگر	S-RNase
(Sanzol, 2009)	0.3	AGAACATTTGATAATTAGGACCAT	B39S3F1 forward	PcS ₁₀₃
(Sanzol, 2009)		GGTTCTTATAGTCGATACCTG	B40S3R1 reverse	
(Sanzol, 2009)	0.3	ACGGTATGTGGCCTCAAACAGCTC	A55S5F1 forward	PcS ₁₀₅
(Sanzol, 2009)		GATTGTCGTTCTGTATTGCCGGTCG	A57S5R2 reverse	
(Sanzol, 2009)	0.3	ATTTCAATTACGCAGCAATATCAGC	PycomC1F1 forward	PcS ₁₀₆
(Sanzol, 2009)		GCGTGTGTTCAATTTCGTC	PycomS6R reverse	
(Sanzol, 2009)	0.4	CGACCCGGAATTGCAAGATAAGG	A60S7F1 forward	PcS ₁₀₇
(Sanzol, 2009)		GGCATTTCAATGTCCACAGCACT	A63S7R3 reverse	
(Sanzol, 2009)	0.3	CTTGTAACTACGTCTGAACAA	PycomS8F forward	PcS ₁₀₈
(Sanzol, 2009)		CCTCAACTAATTCTAGTCGTC	PycomS8R reverse	
(Sanzol, 2009)	0.4	TTTGAATGGACCTCACCTGC	B47S9F2 forward	PcS ₁₀₉
(Sanzol, 2009)		TATCTACCAGTGGCCTTTCAA	B48S9R3 reverse	
(Sanzol, 2009)	0.6	CAGAAAAATGTAAGACTACAGCTC	A68S11F1 forward	PcS ₁₁₁
(Sanzol, 2009)		TTGTCGGTCTCGGTGAATAGC	PycomS11R reverse	
(Sanzol, 2009)	0.3	GCTTGTGTTAGTTAATGACAGC	B41S12F1 forward	PcS ₁₁₂
(Sanzol, 2009)		GGTTCTTATCGTCGGTACACT	B51S12R3 reverse	
(Sanzol, 2009)	0.3	TGGTTGTGGCCTTCAGAGTC	B36S14F2 forward	PcS ₁₁₄
(Sanzol, 2009)		GTCGCTTATCATCGGTACTTGG	A71S14R4 reverse	
(Sanzol, 2009)	0.6	TGGCCTTCAAACGTGACTTACCC	A83SmF1 forward	PcS ₁₁₅
(Sanzol, 2009)		ATGTACATTGATAACAGTCCG	B37SmR2 reverse	
Designed in this study	0.4	GCCAGCTGTCGCAACTCC	PcS16 forward	PcS ₁₁₆
Designed in this study		GTCGTTCTTATTGCGGGATAC	PcS16 reverse	
(Sanzol, 2009)	0.3	TCACCCAGAAAATGACGGAC	B52S21F2 forward	PcS ₁₂₁
(Sanzol, 2009)		TTTGTTTCTTATTGTTGATGCTC	B53S21R2 reverse	
(Sanzol, 2009)	0.6	CACCGTAGGACCTGACCCGAGT	A84S22F1 forward	PcS ₁₂₂
(Sanzol, 2009)		CTAGAGACGTTTGTGAGTCAG	A89S22R1 reverse	
(Sanzol, 2009)	0.3	CAGCAGCAGAAATGACCCAAGAT	A88S23F1 forward	PcS ₁₂₃
(Sanzol, 2009)		AATTCACTCCTTGAGTATAGT	B38S23R2 reverse	
(Sanzol, 2009)	0.6	TCTGTGGCCTTCAAACGGATACT	A85S24F1 forward	PcS ₁₂₄
(Sanzol, 2009)		GTTGGTACTAATGAGTATGGCAGC	A86S24F2 reverse	
(Sanzol, 2009)	0.4	ATTTCAATTACGCAGCAATATCAGC	PycomC1F1 forward	PcS ₁₂₅
Designed in this study		GATTGCGTCTTACTCACGGT	PcS25 reverse	
Designed in this study	0.4	TCAAATTCTCCCCAGCAAAC	PpS2 forward	PpS ₂
Designed in this study		CGTCATCACACACACTTC	PpS2 reverse	
Designed in this study	0.4	TCAACATAGATTTCATGCACAC	PpS3 forward	PpS ₃
Designed in this study		GATATTGTTGGTGGGGCAAT	PpS3_5 reverse	
(Sanzol, 2009)	0.4	ATTTCAATTACGCAGCAATATCAGC	PycomC1F1 forward	PpS ₄
Designed in this study		TGCATGAAAATCTATGCTGAGC	PpS4 reverse	
Designed in this study	0.4	TCAACATAGATTTCATGCACGT	PpS5 forward	PpS ₅
Designed in this study		GATATTGTTGGTGGGGCAAT	PpS3_5 reverse	
Designed in this study	0.6	GCCTGTGCAAATTACAAATTG	PpS6 forward	PpS ₆
(Sanzol, 2009)		CTGCAAAGGACCTCAACCAATT	PycomC5R1 reverse	
Designed in this study	0.4	TCAACATCTTCGCGACTG	PpS8 forward	PpS ₈
(Sanzol, 2009)		CTGCAAAGGACCTCAACCAATT	PycomC5R1 reverse	
Designed in this study	0.4	CTCAATCGAAGGGCAAATGT	PpS9 forward	PpS ₉
Designed in this study	0.3	TTATTGGTGGGGCAGAAAAA	PpS9 reverse	

پلی‌مراز حاصل از آغازگر عمومی با اندازه حدود ۷۰۰ - ۶۵۰ چفت باز تولید کردند. برای همسانه‌سازی، تعدادی از این محصول‌ها به طور مستقیم در pGEM-T Easy Vector System (Promega, Madison, WI, USA) و با استفاده از سلول‌های Escherichia coli DH5α استفاده شد. محصول‌های واکنش زنجیره‌ای پلی‌مراز همسانه‌سازی شده، توسعه یافته‌ند و با آنزیم برشی MseI/Tru1I به منظور تمایز آلل‌های مختلف از محصول واکنش زنجیره‌ای پلی‌مراز اولیه برش داده شدند. دو

طراحی شده برای آلل‌های PpS₆ و PpS₈ و PpS₂-PpS₈ و PpS₉ و استفاده گردید. در حالی‌که، برای شناسایی آلل‌های PpS₁ و PpS₇ به دلیل شباهت بالای توالی، به ترتیب، به آلل‌های PpS₁₁₁ و PpS₁₁₆ گلابی اروپایی، از جفت آغازگر عمومی و اختصاصی PpS₁₁₆ استفاده شد (جدول ۲).

همسانه‌سازی و توالی بایی
اکثر آلل‌های خودناسازگاری، محصول واکنش زنجیره‌ای



شکل ۱. باندهای حاصل از تکثیر واکنش زنجیره‌ای پلی‌مراز DNA ژنومی روی ژل آگاروز ۱/۵ درصد

A: باندهای حاصل از تکثیر واکنش زنجیره‌ای پلی‌مراز ارقام اروپایی با استفاده از جفت آغازگرهای عمومی

B: باندهای حاصل از تکثیر واکنش زنجیره‌ای پلی‌مراز با جفت آغازگرهای اختصاصی *PcS₁₀₅*

شد. توالی‌های اسید آمینه پیش‌بینی شده تمامی توالی‌های CDS با استفاده از Clustal W (<http://www.ebi.ac.uk/Tools/msa/clustalw2/>) هم‌تراز شدند. توالی‌های اسید آمینه برای ساخت درخت MEGA5 Software با استفاده از نرم‌افزار (<http://www.megasoftware.net/>), از طریق روش Neighbor-Joining Tree تجزیه Poisson correction method به کار رفتند (۲۸).

پلاسمید با الگوی برشی متفاوت از هر ژنتوتیپ برای توالی‌یابی انتخاب شدند. برای توالی‌یابی، قطعه وارد شده با استفاده از آغازگرهای M13 – پیش‌رو و SP6 – پس‌رو انجام گرفت و محصول‌های تکثیر یافته با استفاده از ExoSAP-ITTM خالص‌سازی شدند (۷). محصول خالص‌سازی شده با MegabACE 1000 capillary sequencer (Amersham Pharmacia Biotech, Uppsala, Sweden) استفاده از دستگاه است. جهت پیش‌رو و پس‌رو توالی‌یابی شدند. هم‌چنین، تعدادی از آلل‌ها، که محصول‌هایی با اندازه بیشتر از ۱۰۰۰ باز تولید کردند، بر روی ژل آگاروز ۱/۲ درصد الکتروفوروز شدند و باندهای برش یافته از روی ژل آگاروز با استفاده (Sigma-Aldrich) GenEluteTM Gel Extraction Kit از خالص‌سازی شدند و با جفت آغازگر عمومی در دو جهت پیش‌رو و پس‌رو توالی‌یابی شدند. توالی‌ها با استفاده از FinchTV (www.geospiza.com) ویرایش شدند، برای هر آلل، کل توالی با استفاده از هم‌ردیف کردن Lalign توالی‌های پیش‌رو و پس‌رو با نرم‌افزار (http://www.ch.embnet.org/software/LALIGN_form.htm) و ApE (www.ape-a-plasmid-editor) به دست آمد. توالی‌های CDS با مقایسه توالی‌های S-RNase Pyrinae موجود در NCBI بعد از هم‌ردیفی (BLAST) توالی‌ها (<http://www.ncbi.nlm.nih.gov/blast/Blast.cgi>) تعیین

نتایج و بحث

تمامی ارقام و ژنتوتیپ‌ها، ابتدا با یک جفت آغازگر عمومی و سپس با ۲۳ جفت آغازگر اختصاصی مورد آزمایش قرار گرفت؛ نتایج تکثیر با استفاده از آغازگرهای عمومی و اختصاصی در جدول ۳ خلاصه شده است. برای اکثر ژنتوتیپ‌ها دو آلل شناسایی شد (شکل ۱)، در حالی‌که برای رقم کونسیلر آلاکوئر و ژنتوتیپ ۸۷ سه آلل شناسایی شد که تری‌پلوئیدی را نشان می‌دهد. برای ۱۱ ژنتوتیپ فقط یک آلل شناسایی شد. روش توالی‌یابی برای آلل‌های ژنتوتیپ‌های انجام شده، حضور آلل‌های جدید در اکثر ژنتوتیپ‌های ایران را تأیید کرد. تکثیر واکنش زنجیره‌ای پلی‌مراز با آغازگرهای عمومی برای نه ژنتوتیپ؛ ۳۹، ۴۳، ۴۷، ۷۸، ۸۱، ۸۴، ۸۶، ۹۳ و ۹۴ تولید قطعه‌ای با اندازه تقریبی ۷۶۰ جفت باز کرد، که از اندازه موردنظر برای آلل

جدول ۳. اندازه و ترکیب آلل خودناسازگاری ژنوتیپ‌های وحشی کلابی ایران با استفاده از آغازکرهاي عمومي و اختصاصي

رقم و ژنوتیپ	ارقام کنترل	اندازه باند (bp) - PCR - عمومي	اندازه باند PCR - اختصاصي	ژنوتیپ خودناسازگاري S-genotype
وردي	PcS ₁₀₁ PcS ₁₀₄	PcS ₁₀₄	PcS ₁₀₁	750/1,300
اويد	PcS ₁₀₂ PcS ₁₁₂	PcS ₁₁₂	PcS ₁₀₂	1,600/1,700
کونسیلر آلاکوئر	PcS ₁₀₃ PcS ₁₂₅ PcS ₁₀₅	PcS ₁₀₅	PcS ₁₂₃	650/ 650/1,600
ریمار رد	PcS ₁₀₄ PcS ₁₁₄	PcS ₁₁₄	PcS ₁₀₄	650/750
دوینه دو کومیس	PcS ₁₀₄ PcS ₁₀₅	PcS ₁₀₅	PcS ₁₀₄	650/750
آنگلس	PcS ₁₀₅ PcS ₁₂₁	PcS ₁₂₁	PcS ₁₀₅	650/650
بوره گیفارد	PcS ₁₀₁ PcS ₁₀₆	PcS ₁₀₆	PcS ₁₀₁	670/1,300
فرتیلیتی	PcS ₁₀₇ PcS ₁₁₂	PcS ₁₁₂	PcS ₁₀₇	650/1,600
کنفرانس	PcS ₁₀₈ PcS ₁₂₁	PcS ₁₂₁	PcS ₁₀₈	650/675
دلبارد پرمیر	PcS ₁₀₁ PcS ₁₀₉	PcS ₁₀₉	PcS ₁₀₁	650/1,300
پرزیدنت هرون	PcS ₁₁₀ PcS ₁₁₂	PcS ₁₁₂	PcS ₁₁₀	1,600/2,200
ویلدر	PcS ₁₀₁ PcS ₁₁₁	PcS ₁₁₁	PcS ₁₀₁	675/1,300
بوره کلابرگ	PcS ₁₀₅ PcS ₁₁₂	PcS ₁₁₂	PcS ₁₀₅	650/1,600
اولدھوم	PcS ₁₀₁ PcS ₁₁₃	PcS ₁₁₃	PcS ₁₀₁	1,300/1,900
مونچالارد	PcS ₁₀₄ PcS ₁₁₅	PcS ₁₁₅	PcS ₁₀₄	650/750
روزماری	PcS ₁₀₁ PcS ₁₁₆	PcS ₁₁₆	PcS ₁₀₁	670/1,300
بلا دي گيونيو	PcS ₁₀₄ PcS ₁₂₀	PcS ₁₂₀	PcS ₁₀₄	750/800
کیفر	PcS ₁₀₂ PcS ₁₂₁	PcS ₁₂₁	PcS ₁₀₂	650/1,700
دوینه دھیور	PcS ₁₀₁ PcS ₁₂₁	PcS ₁₂₁	PcS ₁₀₁	650/1,300
گرین سامر	PcS ₁₂₂ PcS ₁₂₄	PcS ₁₂₄	PcS ₁₂₂	650/675
سرمانیو	PcS _{121*} PcS ₁₂₅	PcS ₁₂₅	PcS _{121*}	1200/>2,000
ژنوتیپ‌های ایرانی				
۳۹	PcS ₁₀₄ Pcs ₁₂₇	PcS ₁₂₇	PcS ₁₀₄	750/760
۴۰	PcS ₁₁₆	-	PcS ₁₁₆	670
۴۱	PcS ₁₁₅	-	PcS ₁₁₅	650
۴۲	PcS ₁₀₄	-	PcS ₁₀₄	700/750
۴۳	PcS ₁₀₄ Pcs ₁₂₇	PcS ₁₂₇	PcS ₁₀₄	750/760
۴۴	PcS ₁₂₁	-	PcS ₁₂₁	650
۴۵	PcS ₁₀₃ PcS ₁₂₂	PcS ₁₂₂	PcS ₁₀₃	675/1,600
۴۶	PcS ₁₂₂	-	PcS ₁₂₂	675
۴۷	PcS ₁₀₄ Pcs ₁₂₇	PcS ₁₂₇	PcS ₁₀₄	750/760
۶۱	PcS ₁₀₄ PcS ₁₁₅	PcS ₁₁₅	PcS ₁₀₄	650/750
۶۲	PcS ₁₂₄	-	PcS ₁₂₄	650
۷۱	PcS ₁₂₄ PpS ₈	PpS ₈	PcS ₁₂₄	650/750
۷۲	PcS ₁₁₃ PcS ₁₂₁	PcS ₁₂₁	PcS ₁₁₃	650/1,900
۷۳	PcS ₁₂₂ PcS ₁₂₄	PcS ₁₂₄	PcS ₁₂₂	650/675
۷۴	PcS ₁₀₄ PcS ₁₂₄	PcS ₁₂₄	PcS ₁₀₄	650/750
۷۵	PcS ₁₂₄ PpS ₈	PpS ₈	PcS ₁₂₄	650/750

ادامه جدول ۳

PcS ₁₀₈ PcS ₁₂₁	PcS ₁₂₁	PcS ₁₀₈	650/675	۷۶ ژنوتیپ
PcS ₁₀₇ PcS ₁₂₄	PcS ₁₂₄	PcS ₁₀₇	650/650	۷۷ ژنوتیپ
PpS ₈ PcS ₁₂₇	PcS ₁₂₇	PpS ₈	650/760	۷۸ ژنوتیپ
PcS ₁₀₄ PcS ₁₀₈	PcS ₁₀₈	PcS ₁₀₄	675/750	۷۹ ژنوتیپ
PcS ₁₀₈ PcS ₁₂₄	PcS ₁₂₄	PcS ₁₀₈	650/675	۸۰ ژنوتیپ
PpS ₈ PcS ₁₂₇	PcS ₁₂₇	PpS ₈	750/760	۸۱ ژنوتیپ
PcS ₁₂₂ PcS ₁₂₄	PcS ₁₂₄	PcS ₁₂₂	650/675	۸۲ ژنوتیپ
PcS ₁₀₁ PcS ₁₀₈	PcS ₁₀₈	PcS ₁₀₁	675/1300	۸۳ ژنوتیپ
PpS ₈ PcS ₁₂₇	PcS ₁₂₇	PpS ₈	750/760	۸۴ ژنوتیپ
PcS ₁₀₅ PcS ₁₂₄	PcS ₁₂₄	PcS ₁₀₅	650/650	۸۵ ژنوتیپ
PcS ₁₀₂ PcS ₁₂₂	PcS ₁₀₂	PcS ₁₂₂	675/1700	۸۶ ژنوتیپ
PcS ₁₀₅ PcS ₁₂₂ PcS ₁₂₄	PcS ₁₂₄	PcS ₁₀₅	650/650/675	۸۷ ژنوتیپ
PpS ₈ PcS ₁₂₇	PcS ₁₂₇	PpS ₈	750/760	۸۸ ژنوتیپ
PcS ₁₀₂ PcS ₁₀₈	PcS ₁₀₂	PcS ₁₀₈	675/1,700	۸۹ ژنوتیپ
PcS ₁₂₈ PcS ₁₀₂	PcS ₁₀₂	PcS ₁₂₈	650/1,700	۹۰ ژنوتیپ
PcS ₁₀₅ PcS ₁₂₁	PcS ₁₂₁	PcS ₁₀₅	650/650	۹۱ ژنوتیپ
PcS ₁₀₁ PcS ₁₀₂	PcS ₁₀₂	PcS ₁₀₁	1300/1700	۹۲ ژنوتیپ
PpS ₈ PcS ₁₂₇	PcS ₁₂₇	PpS ₈	750/760	۹۳ ژنوتیپ
PpS ₈ PcS ₁₂₇	PcS ₁₂₇	PpS ₈	750/760	۹۴ ژنوتیپ
PcS ₁₀₆ PcS ₁₂₁	PcS ₁₂₁	PcS ₁₀₆	650/670	۹۵ ژنوتیپ
PcS ₁₂₀ PcS ₁₂₅	PcS ₁₂₅	PcS ₁₂₀	800/>2,000	۹۶ ژنوتیپ
PsS ₅	-	PsS ₅	650	۹۷ ژنوتیپ
PsS ₃	-	PsS ₃	650	۹۸ ژنوتیپ
PuS ₃₀	-	PuS ₃₀	650	۹۹ ژنوتیپ
PuS ₃₀	-	PuS ₃₀	650	۱۰۰ ژنوتیپ
PuS ₃₇ PuS ₄₀	PuS ₄₀	PuS ₃₇	650/675	۱۰۱ ژنوتیپ
PuS ₃₀	-	PuS ₃₀	650	۱۰۲ ژنوتیپ

۸۴، ۸۸، ۸۹، ۹۳ و ژنوتیپ‌های دیگر؛ ۷۱، ۷۵ قطعه‌ای با اندازه تقریبی ۷۵۰ جفت باز با محصول واکنش زنجیره‌ای پلی‌مراز با آغازگرهای عمومی نشان داد، که توالی‌یابی آن تطابق کامل آلل را با آلل PsS₈ (Acc. AB104908.1) ثابت کرد. تجزیه آلل جدید، پنج ناحیه عمومی حفاظت شده (C1، C2، C3، RC4 و C5) و یک ناحیه بسیار متغیر (RHV) مخصوص Pyrinae-RNase‌های Pyrinae را نشان داد (شکل ۲). توالی آلل جدید در پایگاه اطلاعاتی Genbank با شماره الحاقی KF588568 ثبت شد. دانش ثبت ژنومی آلل‌های خودناسازگاری برای بهنژادگران و پرورش دهنده‌گان ارقام

۷۵۴ (PcS₁₀₄ جفت باز) بزرگ‌تر بود. این آلل از دو ژنوتیپ ۷۸ و ۷۸ توالی‌یابی شد و پیشنهاد شد که با نام آلل PcS₁₂₇ نام‌گذاری شود. این آلل تقریباً با آلل S₁₉ از یکسان بود (P. bretschneideri EF643638؛ PbS₁₉). اما از PbS₁₉ توسط جایگزینی تک نوکلئوتید در اگزون دوم تفاوت داشت، که تغییری در کدون ایجاد نمی‌کرد؛ در سطح اسید آمینه، آلل جدید ۱۰۰ درصد تطابق با PbS₁₉ داشت. نزدیکترین آلل از P. pyrifolia syn. P. serotina (Acc. Ab426604) بود که ۹۵ درصد تطابق در سطح اسید آمینه نشان داد. آلل -S دوم تعدادی از این ژنوتیپ‌ها؛ ۸۱، ۷۸

<i>Signal peptide</i>	C1	C2	HVR	C3
Pcs101_AB236428	MGITGMIVYMTMVFSLVLILSSSTMGYDYPFQTQYQPAACNSNPCKDPKTEKLFTVHGLWPSNSNGPDPVNCKPKTKVQAOQIPDSPLKQLEIIPWNPVNRADNESFWNKQWDHK			120
Pcs102_AB236425	MGITGMIVYMTMVFSLVLILSSAAKYDYLQFTQYQPAACKFHTCPDKPLDKLFTVHGLWPSNSNGPDPVNCKPKTKVQAOQIPDSPLKQLEIIPWNPVNRADNESFWNKQWDHK			
Pcs103_AB236432	MGITGMIVYMTMVFSLVLILSSAVKFDPYDQFQTQYQPAVCNSNPCKDPKDLFTVHGLWPSNSNGPDPVNCKPKTKVQAOQIPDSPLKQLEIIPWNPVNRADNESFWNKQWDHK			
Pcs104_AB236429	-MGITGMIVYMTMVFSLVLILSSAVKFDPYDQFQTQYQPAVCNSNPCKDPKDLFTVHGLWPSNSNGPDPVNCKPKTKVQAOQIPDSPLKQLEIIPWNPVNRADNESFWNKQWDHK			
Pcs105_AB236430	-MGITGMIVYMTMVFSLVLILSSAVTFGVDYQFQTQYQPAVCNSNPCKDPKDLFTVHGLWPSNSNGPDPVNCKPKTKVQAOQIPDSPLKQLEIIPWNPVNRADNESFWNKQWDHK			
Pcs106_AB236431	MGITGMIVYMTMVFSLVLILSSAVTFGVDYQFQTQYQPAVCNSNPCKDPKDLFTVHGLWPSNSNGPDPVNCKPKTKVQAOQIPDSPLKQLEIIPWNPVNRADNESFWNKQWDHK			
Pcs107_AB236431	MGITGMIVYMTMVFSLVLILSSAVTFGVDYQFQTQYQPAVCNSNPCKDPKDLFTVHGLWPSNSNGPDPVNCKPKTKVQAOQIPDSPLKQLEIIPWNPVNRADNESFWNKQWDHK			
Pcs108_AB236427	MGITGMIVYMTMVFSLVLILSSAVTFGVDYQFQTQYQPAVCNSNPCKDPKDLFTVHGLWPSNSNGPDPVNCKPKTKVQAOQIPDSPLKQLEIIPWNPVNRADNESFWNKQWDHK			
Pcs109_AB258364	MGITGMIVYMTMVFSLVLILSSAVTFGVDYQFQTQYQPAVCNSNPCKDPKDLFTVHGLWPSNSNGPDPVNCKPKTKVQAOQIPDSPLKQLEIIPWNPVNRADNESFWNKQWDHK			
Pcs110_AB258360	MGITGMIVYMTMVFSLVLILSSAVTFGVDYQFQTQYQPAVCNSNPCKDPKDLFTVHGLWPSNSNGPDPVNCKPKTKVQAOQIPDSPLKQLEIIPWNPVNRADNESFWNKQWDHK			
Pcs111_AB258365	MGITGMIVYMTMVFSLVLILSSAVTFGVDYQFQTQYQPAVCNSNPCKDPKDLFTVHGLWPSNSNGPDPVNCKPKTKVQAOQIPDSPLKQLEIIPWNPVNRADNESFWNKQWDHK			
Pcs112_AB236424	MGITGMIVYMTMVFSLVLILSSAVTFGVDYQFQTQYQPAVCNSNPCKDPKDLFTVHGLWPSNSNGPDPVNCKPKTKVQAOQIPDSPLKQLEIIPWNPVNRADNESFWNKQWDHK			
Pcs113_AB258366	MGITGMIVYMTMVFSLVLILSSAVTFGVDYQFQTQYQPAVCNSNPCKDPKDLFTVHGLWPSNSNGPDPVNCKPKTKVQAOQIPDSPLKQLEIIPWNPVNRADNESFWNKQWDHK			
Pcs114_AB258359	MGITGMIVYMTMVFSLVLILSSAVTFGVDYQFQTQYQPAACNSNHTPCPKDPKDLFTVHGLWPSNSNGPDPVNCKPKTKVQAOQIPDSPLKQLEIIPWNPVNRADNESFWNKQWDHK			
Pcs115_AB258362	MGITGMIVYMTMVFSLVLILSSAVTFGVDYQFQTQYQPAACNSNHTPCPKDPKDLFTVHGLWPSNSNGPDPVNCKPKTKVQAOQIPDSPLKQLEIIPWNPVNRADNESFWNKQWDHK			
Pcs116_AB258363	MGITGMIVYMTMVFSLVLILSSAVTFGVDYQFQTQYQPAACNSNHTPCPKDPKDLFTVHGLWPSNSNGPDPVNCKPKTKVQAOQIPDSPLKQLEIIPWNPVNRADNESFWNKQWDHK			
Pcs117_AY261194			-FTQQYQPAVCNSNPCKDPKDLFTVHGLWPSNSNGPDPVNCKPKTKVQAOQIPDSPLKQLEIIPWNPVNRADNESFWNKQWDHK	
Pcs118_UU118758			-AVCNFTPTCPCKDPKDLFTVHGLWPSNSNGPDPVNCKPKTKVQAOQIPDSPLKQLEIIPWNPVNRADNESFWNKQWDHK	75
Pcs119_EU118761	MGITGMIVYMTMVFSLVLILSSAVTFGVDYQFQTQYQPAVCNFYNTPCPKDPKDLFTVHGLWPSNSNGPDPVNCKPKTKVQAOQIPDSPLKQLEIIPWNPVNRADNESFWNKQWDHK			
Pcs120_UU118760	-MGITGMIVYMTMVFSLVLILSSAVTFGVDYQFQTQYQPAVCNFYNTPCPKDPKDLFTVHGLWPSNSNGPDPVNCKPKTKVQAOQIPDSPLKQLEIIPWNPVNRADNESFWNKQWDHK			
Pcs121_UU118760	-AVCNNSNRPCKDPKDLFTVHGLWPSNSNGPDPVNCKPKTKVQAOQIPDSPLKQLEIIPWNPVNRADNESFWNKQWDHK			
Pcs122_UU118761	-AVCNNSNRPCKDPKDLFTVHGLWPSNSNGPDPVNCKPKTKVQAOQIPDSPLKQLEIIPWNPVNRADNESFWNKQWDHK			
Pcs123_EU118761	-AVCHNFTPTCPCKDPKDLFTVHGLWPSNSNGPDPVNCKPKTKVQAOQIPDSPLKQLEIIPWNPVNRADNESFWNKQWDHK			
Pcs124_UU118762	-AVCNNSNRPCKDPKDLFTVHGLWPSNSNGPDPVNCKPKTKVQAOQIPDSPLKQLEIIPWNPVNRADNESFWNKQWDHK			
Pcs125_UU118762	-AVCNNSNRPCKDPKDLFTVHGLWPSNSNGPDPVNCKPKTKVQAOQIPDSPLKQLEIIPWNPVNRADNESFWNKQWDHK			
Pcs127	-AVCNNSNRPCKDPKDLFTVHGLWPSNSNGPDPVNCKPKTKVQAOQIPDSPLKQLEIIPWNPVNRADNESFWNKQWDHK			

	RC4	C5
Pcs101_AB236428	GTCGYPITKDKHNYLQTIVKMYIQTOKQNVSISSKANINPDGIGTRKLNIENAIRNGTNDEKEPLKLCKQ—NNGTIELVEVVS—	LCSNLYGKHFINCPNKIPQGSRYFPCPKIDY
Pcs102_AB236425	GTCGSPITIIDKHNHYFOTVIRMYITEQVNVSILSKANINPDGKGTRKDQI1AIRNSTDKEPEPLKCQ—NGNTIELVEVVS—	LCSNLYGKNFINCPNKTGKTRYSPCTNDIHY
Pcs103_AB236432	GACGYPITIADMMHFYSTVIMYIITQKQNVSEILSKANIEPGRFRTRDDVNAISIPSDYKKPLKLCKQ—NNQTELVEVVS—	LCSNLYGKQFINCPNPFGPSQGSPYFCPTNQY
Pcs104_AB236429	GSCASPIQNONTHYFOTVIRMYIITQKQNVSEILSKANIEPGRKSRLVDLNEAIRVKINNTPKFKCQ—NPRLTSLTEVQGKLCDSNLTQFQINCPHPGSPYRFYCPTNQY	GSCASPIQNONTHYFOTVIRMYIITQKQNVSEILSKANIEPGRKSRLVDLNEAIRVKINNTPKFKCQ—NPRLTSLTEVQGKLCDSNLTQFQINCPHPGSPYRFYCPTNQY
Pcs105_AB236430	GSCCRPAIQNDMWHLQTIVKMYIITQKQNVSEILSKANIEPVGFRWTQKEIEKAKRGTNNKEPKLKCKQ—NTYQTELVEVVS—	—ICSDRNLQKDFDCPREFLINGSRYSYCPNNILY
Pcs106_AB258361	GSCGNPQNPIMNDTHYFOTVIRMYIITQKQNVSEILSKANIEPGLQJLWRDIEKAIRNGINKKPKFKCQN—NGGTIELVEVVS—	—ICSDRNLQKDFDCPREFLINGSRYSYCPNNILY
Pcs107_AB236431	GACGYPIQTONENDYFOTVIRMYITEQVNVSIRLSNAKIEPDGRSALVDLNEAIRNGTNKLPKLKCKQ—KTRVTELVEVVS—	—ICSDRNLQKDFDCPREFLINGSRYSYCPNNILY
Pcs108_AB236427	GTCGYPITRDMMDMLYLTKVIMYIITQKQNVSAILSKANIEPGQNQNSRLVDLNEAIRNGTNPKFKCQNRNTTLEVEVVS—	—LCSDRDLTKFNCNPQ—POQGRSPYFCPTNQY
Pcs109_AB258364	GSCGNPQNPIMNDTHYFOTVIRMYIITQKQNVSEILSKANIEPVGLRPLVDLNEAIRNSTNNKPKFKCQ—KNRVELEVIS—	—LCSDRDLTKFNCNPQ—POQGRSPYFCPTNQY
Pcs110_AB258360	GICGSPQTPQDNNVLYLETIVNNIYIITQKQNVFEILSKANIEPGKRNTRDVKIAKRGTNGRKPLKLCKQ—NTRVTELVEVVS—	—LCSDRDLTKFNCNPQ—POQGRSPYFCPTNQY
Pcs111_AB258365	GTCGYPIKTDMDMMLYLTVIRLYIITQKQNVSEILSKANIEPGNTRLVDLNEAIRNGTNPKFKCQNRNTTLEVEVVS—	—LCSDRDLTKFNCNPQ—POQGRSPYFCPTNQY
Pcs112_AB236424	GTCGYPIQADMMHFYSTVIMYIITQKQNVSEILSKANIEPGFRTRDDVNAISOSIDDEPEPLKLCKQ—NNNTIELVEVVS—	—LCSDRDLTKFNCNPQ—POQGRSPYFCPTNQY
Pcs113_AB258366	GTCGSPITIIDKHNHYFOTVIRMYITEQVNVSILSKANINPDGKGTRKDQI1AIRNSTDKEPEPLKLCKQ—NGNTIELVEVVS—	—LCSNLYGKNFINCPNPKNG—SYRCPDKIIH
Pcs114_AB258359	GTCGGPQITQDGEHYFRTVIMYIITQKQNVSISSKANIEPEGLWIKEARQSTDPRDPLKLCKQ—NNQTELVEVVS—	—LCSDENLQTQFQINCPNPFGPSQGSPYFCPTNQY
Pcs115_AB258362	GCGGYTINDEIQQFOTVIRMYITQKQNVSISSKANIEPEGKNWTRTEIINAISISTNNMPKLKCKQ—NNGTIELVEVVS—	—LCSDNHNTK1FENRHPYDQSQQFCPKINILY
Pcs116_AB258363	GSCGYPAMINNDTHYFOTVIRMYIITQKQNVSEILSKANIEPLGIQRPLVHIEAIRNSTNNKPKFKCQ—NSGVTELVEVVS—	—LCSDGSLTQFQRNCPHP—FFGSPYLCFDADIQY
Pcs117_AY261994	GACGYPITIADMMHFYSTVIMYIITQKQNVSEILSKANIEPEKPFKTRDDVNAISQSDYKKPLKLCKQ—NNQTELVEVVS—	—LCSDNLQTQFQINCPNPFGPSQGSPYFCPTNQY
Pcs118_U118754	GSCASPLQNPQNONTHYFOTVIRMYIITQKQNVSISSKANIEPGKRGTRDLEIAIRNSTNNKPKFKCQ—NGRI—	—LCSDNLQTQFQINCPNPFGPSQGSPYFCPTNQY
Pcs119_RU477439	GSCGNPQNPMTMNDHFYFOTVIRMYIITQKQNVSISSKANIEPGVPGGRFLPVNTDTRNKS1TQPKFKCQ—NNQTELVEVVS—	—LCSDRDLTKFNCNPQ—POQGRSPYFCPTNQY
Pcs120_U118760	GTCGYPIIDMHNHYFOTVIRMYIITQKQNVSISSKANIEPDGKRALLDLNEAIRGADNPKPLKLCKQ—RGTM—	—LCSDRDLTKFNCNPQ—POQGRSPYFCPTNQY
Pcs121_EU118761	GSCGHPAIDMMYLQLTVIMYIITQKQNVSEILSKANIEPGWFGKTRDLEIAIRNSTNNKPKFKCQ—NNTQ—	—LCSDRDLTKFNCNPQ—POQGRSPYFCPTNQY
Pcs122_EU118762	GSCGYTINNEIQQFENRHPYDQSQQFCPKINILY	—LCSDRDLTKFNCNPQ—POQGRSPYFCPTNQY
Pcs123_EU118763	GTCGYPIQENDNFYFOTVIMYIITQKQNVSISSKANIEPGDPIKTRDLEIAIRGSTNNPKFKCQ—KRRVT—	—LCSDRDLTKFNCNPQ—POQGRSPYFCPTNQY
Pcs124_EU118764	GSCASPIQNONTHYFOTVIRMYIITQKQNVSEILSKANIEPGKRNTRDLEIAIRVNNNTPKFKCQ—NTRSLT—	—LCSDRDLTKFNCNPQ—POQGRSPYFCPTNQY
Pcs125_EU118765	GTCGYPIQENDNFYFOTVIMYIITQKQNVSISSKANIEPGKRNTRDLEIAIRVNNNTPKFKCQ—NTRSLT—	—LCSDRDLTKFNCNPQ—POQGRSPYFCPTNQY
Pcs126_EU118766	GSCASPIQNONTHYFOTVIRMYIITQKQNVSISSKANIEPGKRNTRDLEIAIRVNNNTPKFKCQ—NTRSLT—	—LCSDRDLTKFNCNPQ—POQGRSPYFCPTNQY
Pcs127_EU118767	GSCASPIQNONTHYFOTVIRMYIITQKQNVSISSKANIEPGKRNTRDLEIAIRVNNNTPKFKCQ—NTRSLT—	—LCSDRDLTKFNCNPQ—POQGRSPYFCPTNQY

شکل ۲. هم تراز سازی توالی های پروتئین S-RNase (PcS₁₀₁-PcS₁₂₅) گلابی اروپایی و آلل جدید پیشنهادی PcS₁₂₇. پنجم ناحیه عمومی حفاظت شده (C1، C2، C3، C4 و C5) و یک ناحیه بسیار متغیر (RHV) پررنگ شده است.

از آغازگرهای عمومی و اختصاصی ارائه شده توسط سانزرو
۲۲) برای ثبت ژنومی آللهای خودناسازگاری در ژنتیپهای
ایرانی استفاده شد. شش آل S-₁₀₁, S-₁₀₂, S-₁₀₄,
PcS-₁₀₄, PcS-₁₀₂, PcS-₁₀₁, S-₁₁₃, S-₁₂₀ و PcS-₁₁₀
براساس اندازه باندهای تولید شده
توسط واکنش زنجیرهای پلی مراز عمومی شناسایی شد، ۱۴ آل
دیگر؛ S-₁₀₃, S-₁₀₅, S-₁₀₆, S-₁₀₇, S-₁₀₈, S-₁₀₉,
PcS-₁₀₉, S-₁₁₁, S-₁₁₂, S-₁₁₄, S-₁₁₅, S-₁₁₆, S-₁₁₇ و
S-₁₂₂, S-₁₂₁, S-₁₁₅, S-₁₁₄, S-₁₁₂, S-₁₁₁,
PcS-₁₂₄ با استفاده از واکنش زنجیرهای پلی مراز اختصاصی
شناسایی شد. آغازگرهای اختصاصی دیگر برای تکثیر آللهای
PcS-₁₂₅ و S-₁₁₇ برای تکمیل محدوده آللهای -
شناخته شده در گلابی اروپایی توسعه یافتند. علاوه بر این، در
این آزمایش، از آغازگرهای اختصاصی، برای شناسایی آللها
از آغازگرهای عمومی و اختصاصی ارائه شده توسط سانزرو

گلابی بسیار حائز اهمیت است، چرا که؛ اطمینان از انتخاب ترکیبات سازگار در باغها و انتخاب والدین مناسب برای تلاقی‌های کنترل شده را تضمین می‌کند. در حالی که ثبت ژنومی آلل‌های خودناسازگاری برای اکثر ارقام و ژنوتیپ‌های اروپایی انجام گرفته است، گزارش‌هایی در رابطه با ارقام و ژنوتیپ‌های ایرانی وجود ندارد. در حال حاضر، آلل خودناسازگاری متفاوت در گلابی اروپایی گزارش شده است؛ این آلل‌ها به صورت PcS_{101} تا PcS_{125} به منظور جلوگیری از تداخل اسمی با گلابی ژاپنی، نام‌گذاری شده‌اند (۱۰). قابل ذکر است که، آلل PcS_{112} با PcS_{119} یکسان است و آلل PcS_{118} محصول مصنوعی واکنش زنجیره‌ای پلی‌مراز است. در پژوهش، روش مبنی بر واکنش زنجیره‌ای پلی‌مراز با استفاده

PcS₁₀₃/PcS₁₀₄ نباید به عنوان والدین برای برنامه‌های به نژادی و یا کاشت در یک باغ به کار رود چرا که از نظر ژنتیکی دگر ناسازگار بوده و قادر به گردahaافشانی هم‌دیگر نبوده و به کاهش میوه و عملکرد در باغ می‌انجامد.

آلل جدید شناسایی شده در نه ژنوتیپ ایرانی از گونهٔ *P. communis* (PcS₁₂₇) در سطح اسیدآمینه با آلل S₁₉ گونهٔ *P. bretschneideri* × *P. communis* است. در تغوری، این آل جدید یا در گونهٔ *P. communis* تکامل یافته و یا در این گونه از طریق دورگ‌گیری طبیعی وارد شده است. به‌هرحال، در گونهٔ گلابی اطمینان کامل از منشاء آلل در گونه به‌دلیل وجود خودناسازگاری گامتوفتی بسیار بالا و توانایی تلاقی‌های بین گونه‌ای، امکان‌پذیر نیست. در پژوهش‌های جریانات ژنی در محصول‌ها، معمولاً جمعیت‌های طبیعی خالص (Pure) به عنوان مواد استاندارد و کنترل در نظر گرفته می‌شوند، اما با توجه به اینکه در گلابی مانع برای دورگ‌گیری به‌دلیل خودناسازگاری بالا و توانایی تلاقی‌های بین گونه‌ای وجود ندارد، یافتن جمعیت‌های خالص امکان‌پذیر نیست (۱۲). علاوه بر این، شباهت زیاد توالی با آلل‌های جنس‌های دیگر نمی‌تواند ضرورتاً تأیید کننده این موضوع باشد که این آلل‌ها در جنس *P. communis* از طریق دورگ‌گیری وارد شده‌اند، در حقیقت؛ ژن‌های S-locus تحت تأثیر انتخاب طولانی مدت متعادل وابسته به تکرار (۳۶) و پدیدهٔ تکامل درون گونه‌ای (۱۳) هستند. بدین معنی که، یک آل اجدادی در گونه‌های متفاوت و حتی جنس برای مدت طولانی بعد از تفرق، تقریباً ماهیت خود را حفظ می‌کند و قابل شناسایی است و در نتیجه، تشابه بین آلل‌های گونه‌های موجود در مقایسات بین گونه‌ای بیشتر از درون گونه‌ای است (۶). بنابراین؛ یافتن آلل‌های خودناسازگاری مشابه یا تقریباً مشابه در گونه‌های متفاوت اما مرتبط غیر معمول نیست. برای تأیید وجود آلل جدید PcS₁₂₇ پیشنهاد می‌شود آزمایش‌های دگر گردahaافشانی بین ارقام و ژنوتیپ‌های دارای آلل S₁₉ این پژوهش با رقم *P. bretschneideri* × *P. communis* (PcS₁₂₇) برای بررسی نتایج ترکیبات سازگار و دگر سازگار انجام گیرد.

PpS₈ تا PpS₁ در گلابی ژاپنی به کار رفت، زیرا گلابی ژاپنی ردپای معنی‌داری در ژرم‌پلاسم گلابی‌های ایرانی به جای گذاشته است (۹). براساس روش مبتنی بر واکنش زنجیره‌ای پلی مراز، ثبت ژنومی آلل‌های خودناسازگاری ۶۴ ژنوتیپ شامل؛ ۴۳ ژنوتیپ وحشی و ۲۱ رقم اروپایی به عنوان کنترل با آغازگرهای عمومی و اختصاصی بررسی شد. آغازگرهای طراحی شده و مورد استفاده در این مطالعه قادر به تکثیر آلل‌های S-اختصاصی در ارقام کنترل بودند که نشان‌دهندهٔ کارایی بالا و موفقیت‌آمیز این روش در شناسایی S-RNase ها است. در میان ارقام کنترل، دو مورد با گزارشات قبلی مطابقت نداشت یکی در رقم وردی بود که در ابتدا با S-آلل‌های PcS₁₀₁/PcS₁₁₉ گزارش شده بود (۱۰ و ۲۷)، بعداً فرض شد که PcS₁₁₉ محصول مصنوعی واکنش زنجیره‌ای پلی مراز و یا آلل نوترکیب است (۲۱). براساس نتایج به‌دست آمده از پژوهش حاضر، این رقم دارای ترکیب آللی PcS₁₀₁/PcS₁₀₄ است و دیگری رقم کونسیلر آلاکوئر بود که در گزارشات قبلی دارای آلل‌های PcS₁₀₃/PcS₁₂₃ است (۲۲) اما نتایج این پژوهش نشان داد که این رقم دارای آلل سوم PcS₁₀₅ است. این نتایج با تجزیه‌های سیتوولوژی سال ۱۹۶۰ (۳۰ و ۳۷) که این رقم را تری‌بلوئید معرفی کرده است، مطابقت دارد.

آلل‌های خودناسازگاری در ژنوتیپ‌های ایرانی دارای ترکیب آللی متفاوتی از ارقام و ژنوتیپ‌های اروپایی است و نشان دهندهٔ ردپای ترکیب ژنتیکی معنی‌دار گونه‌های دیگر است. در هشت ژنوتیپ، حضور آلل گلابی ژاپنی (PpS₈) نشان داده شد؛ علاوه بر این، آلل PcS₁₂₇ که قبلاً گزارش نشده بود در ژرم‌پلاسم ایرانی یافت شد. این مطالعه به عنوان اولین گزارش در ثبت ژنومی آلل‌های خودناسازگاری ژنوتیپ‌های گلابی ایران، اطلاعات مهمی را برای پژوهش دهنده‌گان و به نژادگران گلابی فراهم می‌سازد. براساس نتایج این پژوهش، تعدادی از ترکیبات دگر ناسازگار که دارای ترکیبات S-آلل یکسانی هستند PcS₁₀₄/PcS₁₂₇ ۳۹ و ژنوتیپ ۴۳ با ترکیب آللی مانند؛ ژنوتیپ ۷۳ و ژنوتیپ ۸۲ با ترکیب آللی و PcS₁₂₂/PcS₁₂₄ هم‌چنین لوئیس بونه دجرسی و کوشیا با ترکیب آللی

فرض شود حتی آلل جدید PcS_{127} از طریق *P. pyrifolia syn.* *P. serotina* ایجاد شده است؛ این آلل به نظر می‌رسد که کاملاً در جمعیت وحشی گسترش یافته است. قابل توجه است که در اکثر ژنوتیپ‌ها این آلل با آلل دوم PpS_8 همراه است که نشان می‌دهد این گیاهان از زیر گروه یا جمعیتی حاصل شده‌اند که سهم *P. pyrifolia syn.* *P. serotina* در دورگ‌گیری بسیار بر جسته بوده است.

نتیجه گیری

هدف این تحقیق، تعیین ترکیب تکمکان ژنی - S در ژنوتیپ‌های ایرانی و ارزیابی میزان مشارکت گونه‌های گلابی روی آلل‌های - S ژنوتیپ‌های *P. communis* است. اطلاعات ژنتیکی به دست آمده از تجزیه آلل‌های خودناسازگاری ژنوتیپ‌های وحشی ایران، فرضیه دورگ‌گیری را به عنوان اصلی‌ترین مکانیزم در ایجاد ترکیب ژنتیکی متفاوت این ناحیه تقویت می‌کند. به نظر می‌رسد موقعیت جغرافیایی و تاریخی ایران باعث ایجاد ژرم‌پلاسمی است که در غنی‌سازی ژنوم گلابی اروپایی توسط ترکیب گلابی‌های آسیایی شرق و گونه‌های آسیایی مرکزی مؤثر بوده است. به خاطر تنوع ژنتیکی بالا وجود آلل‌های جدید، ژرم‌پلاسم ایران به عنوان مناسب‌ترین منبع تنوع برنامه‌های بهثادی است.

سپاسگزاری

نویسنده‌گان مایل هستند از دکتر سانزول، دکتر محمد نقی پاداشت و مهندس مهشید هناره به دلیل فراهم کردن نمونه برگ تعدادی از ژنوتیپ‌ها تشکر کنند. هم‌چنین از حمایت مالی نویسنده اول توسط دانشگاه تربیت مدرس در خصوص انجام این پژوهش و هم‌چنین از دانشگاه بولونیا - ایتالیا در خصوص امکانات و هزینه‌های آزمایشگاهی این پژوهش قدردانی می‌شود.

به‌حال، شواهدی فرضیه دورگ‌گیری را به عنوان منشاء آلل PcS_{127} در ژنوتیپ‌های ایرانی *P. communis* گزارش می‌کند؛ ایران روی مسیر اصلی جاده ابریشم قرار گرفته است که از چین در طول آسیای مرکزی، افغانستان گذشته و از ایران به سواحل شرقی دریای مدیترانه و بعد از آن مراکز تجاری شرق نزدیک و اروپا پیوند می‌خورد. جاده ابریشم به طور تاریخی مرکز تبادل محصول‌ها و تکنولوژی کشاورزی، طی دوره تبادل تجارت و فرهنگ بین چین قدیم و آسیای غرب و مرکزی، است (۳۴). بدین ترتیب؛ ایران کشوری است که نمونه‌های *P. communis* وارد شده از اروپا با ژنوتیپ‌های کشورهای آسیای شرقی در ارتباط بودند.

در کل، ایران یکی از مناطق دورگ‌گیری *P. communis* با *P. pyrifolia syn.* *P. korshinskyi* $P. \times bretschneideri$ *serotina* می‌باشد (۱۶). به‌این دلیل انتظار می‌رود که دورگ‌گیری با گلابی‌های آسیای شرق و جریانات ژنی نقش مهمی در ایجاد تنوع در آلل‌های S-ژرم‌پلاسم گلابی ایران گذاشته است؛ به‌طوری‌که، ترکیب ژنتیکی گلابی ژاپنی در ژرم‌پلاسم ایران با شناسایی آلل S_8 گونه *P. pyrifolia syn.* *P. serotina* واضح ثابت شد. هم‌چنین، توالی آلل جدید PcS_{127} ، با آلل S_{19} *P. korshinskyi* $\times P. bretschneideri$ مطابقت داشت، این گونه ابتدا *P. pyrifolia syn.* *P. serotina* می‌شد که از دورگ‌گیری با *P. betulaefolia* (۳۲) یا *P. ussuriensis* ناشی شده است (۴). تجزیه‌های اخیر با نشانگرهای مولکولی، خویشاوندی نزدیک گلابی‌های ژاپنی و چینی را نشان داده است، بنابراین به نویسنده‌گان این امکان را می‌دهد که *P. \times breteschneideri* را به عنوان زیر گونه *P. pyrifolia syn.* *P. serotina* دانسته و نام آن را به *P. serotina var. sinensis* تغییر دهنده (۱ و ۲۹). البته قضایت تنها براساس آلل‌های خودناسازگاری قطعیت ندارد و حتماً باید براساس نشانگرهای اختصاصی و انگشت نگاری ژنتیکی مثل ریزماهواره‌ها اثبات گردد. بنابراین منطقی است که

منابع مورد استفاده

1. Bao, L., K. Chen, D. Zhang, Y. Cao, T. Yamamoto and Y. Teng. 2007. Genetic diversity and similarity of pear (*Pyrus* L.) cultivars native to East Asia revealed by SSR (simple sequence repeat) markers. *Genetic Resources and Crop Evolution* 54: 959–971.
2. Bokszczanin, K., L. Dondini and A. Przybyla. 2009. First report on the presence of fire blight resistance in linkage group 11 of *Pyrus ussuriensis* maxim. *Journal of Applied Genetics* 50: 99–103.
3. Broothaerts, W., G. A. Janssens, P. Proost and W. F. Broekaert. 1995. cDNA cloning and molecular analysis of two self-incompatibility alleles from apple. *Plant Molecular Biology* 27(3): 499–511.
4. Challice J. S. and M. N. Westwood. 1973. Numerical taxonomic studies of the genus *Pyrus* using both chemical and botanical characters. *Botanical Journal of the Linnean Society* 67(2): 121–148.
5. De Franceschi, P., L. Dondini and J. Sanzol. 2012. Molecular bases and evolutionary dynamics of self-incompatibility in the Pyrinae (Rosaceae). *Journal of Experimental Botany* 63(11): 4015–32.
6. De Franceschi, P., L. Pierantoni, L. Dondini, M. Grandi, S. Sansavini and J. Sanzol. 2011. Evaluation of candidate F-box genes for the pollen S of gametophytic self-incompatibility in the Pyrinae (Rosaceae) on the basis of their phylogenomic context. *Tree Genetics and Genomes* 7(4): 663–683.
7. Dugan, K. A., H. S. Lawrence, D. R. Hares, C. L. Fisher and B. Budowle. 2002. An improved method for post-PCR purification for mtDNA sequence analysis. *Journal of Forensic Sciences* 47(4), 811–8.
8. Entani, T., S. Takayama and A. Isogai. 2003. Molecular mechanism of the S-RNase mediated self-incompatibility system. *Plant and Cell Physiology* 44: 20–120.
9. Erfani, J., A. Ebadi, H. Abdollahi and R. Fatahi. 2012. Genetic diversity of some pear cultivars and genotypes using simple sequence repeat (SSR) markers. *Plant Molecular Biology Reporter* 30(5): 1065–1072.
10. Goldway, M., T. Takasaki-Yasuda, J. Sanzol, M. Mota, A. Zisovich, R. A. Stern and S. Sansavini. 2009. Renumbering the S-RNase alleles of European pears (*Pyrus communis* L.) and cloning the S109 RNase allele. *Scientia Horticulturae* 119(4): 417–422.
11. Gu, Q., Q. Zhang, H. Hu, Q. Chen and Z. Luo. 2009. Identification of self-Incompatibility genotypes in some sand pears (*Pyrus pyrifolia* Nakai) by PCR-RFLP analysis. *Agricultural Sciences in China* 8(2): 154–160.
12. Iketani, H., T. Manabe, N. Matsuta, T. Akihama and T. Hayashi. 1998. Incongruence between RFLPs of chloroplast DNA and morphological classification in east Asian pear (*Pyrus* spp). *Genetic Resources and Crop Evolution* 45: 533–539.
13. Ioerger, T. R., A. G. Clark and T. H. Kao. 1990. Polymorphism at the self-incompatibility locus in *Solanaceae* predated speciation. *Proceedings of the National Academy of Sciences of the United States of America* 87(24): 9732–9735.
14. Ishimizu, T., T. Endo, K. Y. Yamaguchi, K. T. Nakamura, F. Sakiyama and S. Norioka. 1998. Identification of regions in which positive selection may operate in S-RNase of Rosaceae: Implication for S-allele-specific recognition sites in S-RNase. *Federation of European Biochemical Societies Letters* 440: 337–342.
15. Kim, H. T., Y. Hirata, H. Kim and I. Nou. 2006. The presence of a new S-RNase allele (S10) in Asian pear (*Pyrus pyrifolia* (Burm; Nakai)). *Genetic Resources and Crop Evolution* 53(7): 1375–1383.
16. Kole, C. 2011. Wild Crop Relatives: Genomic and Breeding Resources Temperate Fruits. Springer Heidelberg Dordrecht. Berlin.
17. Kubo, K., T. Entani, A. Takara, N. Wang, A. M. Fields, Z. Hua and S. Takayama. 2010. Collaborative non-self recognition system in S-RNase-based self-incompatibility. *Science* 330(6005), 796–799.
18. Maguire, T. L., G. G. Collins and M. Sedgley. 1994. A modified CTAB DNA extraction procedure for plants belonging to the family proteaceae. *Plant Molecular Biology Reporter* 12(2): 106–109.
19. Moriya, Y., K. Yamamoto, K. Okada, H. Iwanami, H. Bessho, T. Nakanishi and T. Takasaki. 2007. Development of a CAPS marker system for genotyping European pear cultivars harboring 17 S alleles. *Plant Cell Reports* 26(3): 345–354.
20. Saito, T., Y. Sato, Y. Sawamura, M. Shoda, T. Takasaki-Yasuda and K. Kotobuki. 2011. Dual recognition of S₁ and S₄ pistils by S₄sm pollen in self-incompatibility of Japanese pear (*Pyrus pyrifolia* Nakai). *Tree Genetics and Genomes* 8(4): 689–694.
21. Sanzol, J., B. G. Sutherland and T. P. Robbins. 2006. Identification and characterization of genomic DNA sequences of the S-ribonuclease gene associated with self-incompatibility alleles S 1 to S 5 in European pear. *Plant Breeding* 125(5): 513–518.
22. Sanzol, J. 2009. Genomic characterization of self-incompatibility ribonucleases (S-RNases) in European pear cultivars and development of PCR detection for 20 alleles. *Tree Genetics and Genomes* 5(3): 393–405.
23. Sanzol, J. and T. P. Robbins. 2008. Combined analysis of S-Alleles in European pear by pollinations and PCR-

- based S-Genotyping; correlation between S-Phenotypes and S-RNase genotypes. *Jornal of American Society Horticultural Science* 133(2): 213–224.
- 24. Sassa, H., T. Nishio, Y. Kowyama, H. Hirano, T. Koba and H. Ikehashi. 1996. Self-incompatibility (S) alleles of the Rosaceae encode members of a distinct class of the T2/S ribonuclease superfamily. *Molecular and General Genetics* 250(5): 547–557.
 - 25. Sassa, H., H. Hirano and H. Ikehashi. 1992. Self-Incompatibility-Related RNases in styles of Japanese pear (*Pyrus serotina* Rehd.). *Plant Cell Physiology* 33(6): 811–814.
 - 26. Sassa, H., H. Kakui, M. Miyamoto, Y. Suzuki, T. Hanada, K. Ushijima and T. Koba. 2007. S locus F-box brothers: multiple and pollen-specific F-box genes with S haplotype-specific polymorphisms in apple and Japanese pear. *Genetics* 175(4): 1869–81.
 - 27. Takasaki, T., Y. Moriya, T. Nakanishi, H. Iwanami and H. Bessho. 2007. S-genotype assignment of European pear cultivars using S-RNase specific CAPS marker. *Acta Horticulturae* 800(1): 391–399.
 - 28. Tamura, K., D. Peterson, N. Peterson, G. Stecher, M. Nei and S. Kumar. 2011. MEGA5: molecular evolutionary genetics analysis using maximum likelihood, evolutionary distance, and maximum parsimony methods. *Molecular Biology and Evolution* 28(10): 2731–2739.
 - 29. Teng, Y., K. Tanabe, F. Tamura and A. Itai. 2002. Genetic relationships of *Pyrus* species and cultivars native to East Asia revealed by randomly amplified polymorphic DNA markers. *Journal of American Society of Horticultural Science* 127(2): 262–270.
 - 30. Uhlik, J. A. N. 1961. The cytological evaluation of some pear-sorts cultivated in Czechoslovakia. *Biologia Plantarum* 3(3): 205–214.
 - 31. Ushijima, K., H. Sassa, A. M. Dandekar, T. M. Gradziel, R. Tao and H. Hirano. 2003. Structural and transcriptional analysis of the self-incompatibility locus of almond: identification of a pollen-expressed F-box gene with haplotype-specific polymorphism. *The Plant Cell* 15(3): 771–781.
 - 32. Vavilov, N. I. 1951. The origin, variation, immunity and breeding of cultivated plants. *Soil Science* 72(6): 433–434.
 - 33. Vieira, J., H. R. Morales, R. A. M. Santos and C. P. Vieira. 2007. Different positively selected sites at the gametophytic self-incompatibility pistil S-RNase gene in the Solanaceae and Rosaceae (*Prunus*, *Pyrus*, and *Malus*). *Journal of Molecular Evolution* 65: 175–185.
 - 34. Wei, H., J. Li, Z. Peng, B. Lu, Z. Zhao and W. Yang. 2008. Relationships of aegilops tauschii revealed by DNA fingerprints: The evidence for agriculture exchange between China and the West. *Natural Science* 18(12): 1525–1531.
 - 35. Wolko, Ł., W. Antkowiak, M. Sips and R. Słomski. 2010. Self-incompatibility alleles in Polish wild pear (*Pyrus pyraster* (L.) Burgsd.): a preliminary analysis. *Journal of Applied Genetics* 51(1): 33–35.
 - 36. Wright, S. 1939. The distribution of self-sterility alleles in populations. *Genetics* 24, 538–552.
 - 37. Zielinski, Q. B. and M. Thompson. 1967. Speciation in *Pyrus*: chromosome number and meiotic behavior. *Botanical Gazette Journal* 128(2): 109–112.
 - 38. Zuccherelli, S., P. Tassinari, W. Broothaerts, S. Tartarini, L. Dondini and S. Sansavini. 2002. S-Allele characterization in self-incompatible pear (*Pyrus communis* L.). *Sexual Plant Reproduction* 15(3): 153–158.